

Proyectos de simulación

Salazar C. Edgar M.

Primavera 2018

Índice general

1. Proyecto 1	5
Introducción	5
Contexto	5
Metodología	6
1.1. Potencial	6
1.2. Ecuación de estado	7
1.3. Parámetros Críticos	9
1.3.1. Relación con los coeficientes de Van der Waals (termo clásica)	9
1.3.2. Potencial perturbativo (con Zwanzig)	10
1.4. Función de distribución radial ND	11
1.5. Ecuación de presión ND	12
1.6. Coeficientes a y b	13
1.7. Ajuste para a	14
1.8. Zwanzig	15
1.9. Energía promedio	16
1.10. Validación de modelos teóricos	16
2. Proyecto 2	19
Introducción	19
2.1. Potencial	19
3. Proyecto 3	21
Introducción	21
Metodología	22
3.1. Código	22
3.2. Resultados	26
Apéndice: Código Monte Carlo	29

Capítulo 1

Exploración de la ecuación de Van der Waals

Introducción

La ecuación de estado de Van der Waals

$$\left(P + \frac{N^2}{V^2}a\right)(V - Nb) = Nk_B T \quad (1.1)$$

$$a = -2\pi \int_{\sigma}^{\infty} u^{(1)}(r) r^2 dr \quad (1.2)$$

$$b = \frac{2}{3}\pi\sigma^3 \quad (1.3)$$

Donde σ es el diámetro de la esfera dura que corresponde al potencial de interacción *repulsivo* del sistema de referencia; y $u^{(1)}(r)$ el potencial de interacción *atractivo* que se considera como una perturbación al potencial de interacción entre las partículas.

$$u(r) = u^{(\text{ND})}(r) + u^{(1)}(r) \quad (1.4)$$

Contexto

Para la obtención de la ecuación (1.2) se asume que la función de distribución radial para núcleos duros (ND).¹

$$g_{\text{ND}}(r) \approx \begin{cases} 0 & r \leq \sigma \\ 1 & r > \sigma \end{cases} \quad (1.5)$$

Claramente esta aproximación es para muy bajas concentraciones, donde la función de distribución radial de contacto $g_{\text{ND}}(\sigma^+) \approx 1$, que corresponde al modelo (1.1) de Van der Waals.

En el contexto del ensemble canónico en la Física Estadística, la ecuación de estado se obtiene a partir de:

$$P = \frac{1}{\beta} \left(\frac{\partial \ln Z_N}{\partial V} \right)_T \quad (1.6)$$

¹Aquí usaremos ND para hacer referencia al modelo de núcleo duro (HS o HD en inglés).

Como $g_{\text{ND}}(r)$ depende de la concentración, la ecuación de estado es de la forma

$$P = P_{\text{ND}} - \rho^2 \left[a(\rho) + \rho \left(\frac{\partial a(\rho)}{\partial \rho} \right)_T \right] \quad (1.7)$$

$$P_{\text{ND}} = \rho k_B T \left[1 + \frac{2}{3} \pi \sigma^3 \rho g_{\text{ND}}(\sigma^+) \right] \quad (1.8)$$

Metodología

La teoría de perturbaciones de Zwanzig no impone ninguna restricción sobre el potencial perturbativo $u^{(1)}(r)$, con tal que sea un potencial atractivo. Consideremos como potencial la parte atractiva del modelo de pozo cuadrado (PC) que depende de la distancia r entre partículas².

$$u^{(1)}(r) = \begin{cases} -\varepsilon & \sigma < r < \lambda\sigma \\ 0 & r \geq \lambda\sigma \end{cases} \quad (1.9)$$

Donde λ es un parámetro adimensional que escala el alcance del pozo. Procederemos a la adimensionalización o reducción de variables de modo que estemos en condiciones de implementar las simulaciones para los cálculos numéricos necesarios. Tomaremos como longitud característica al **diámetro** σ de las esferas duras³ del sistema de referencia⁴, y como energía característica a la **energía térmica** $k_B T = \beta^{-1}$.

1.1. Potencial

Multiplicamos la ecuación (1.9) por β (unidades de energía) y dividimos por σ (unidades de longitud) a la variable radial r .

$$\beta u^{(1)}(r) = \begin{cases} -\beta\varepsilon & \sigma < \frac{r}{\sigma} < \frac{\lambda\sigma}{\sigma} \\ 0 & \frac{r}{\sigma} \geq \frac{\lambda\sigma}{\sigma} \end{cases}$$

Definimos:

$$\begin{aligned} u^{*(1)}(r^*) &= \beta u^{(1)}(r) \\ T^* &= \frac{1}{\beta\varepsilon} \\ r^* &= \frac{r}{\sigma} \end{aligned}$$

Así, el potencial reducido está listo para la programación.

$$u^{*(1)}(r^*) = \begin{cases} -\frac{1}{T^*} & 1 < r^* < \lambda \\ 0 & r^* \geq \lambda \end{cases} \quad (1.10)$$

²En lo sucesivo se asume que la simulación es tridimensional.

³Hasta aquí solo hemos dicho que el núcleo es impenetrable y esto se refleja en la forma de escribir el potencial. Sin embargo la dependencia radial permite trabajar la forma (1.4) para discos como para esferas.

⁴Usamos esferas pues trabajaremos con un modelo en tres dimensiones, además de ser la forma más simple de sistema de referencia.

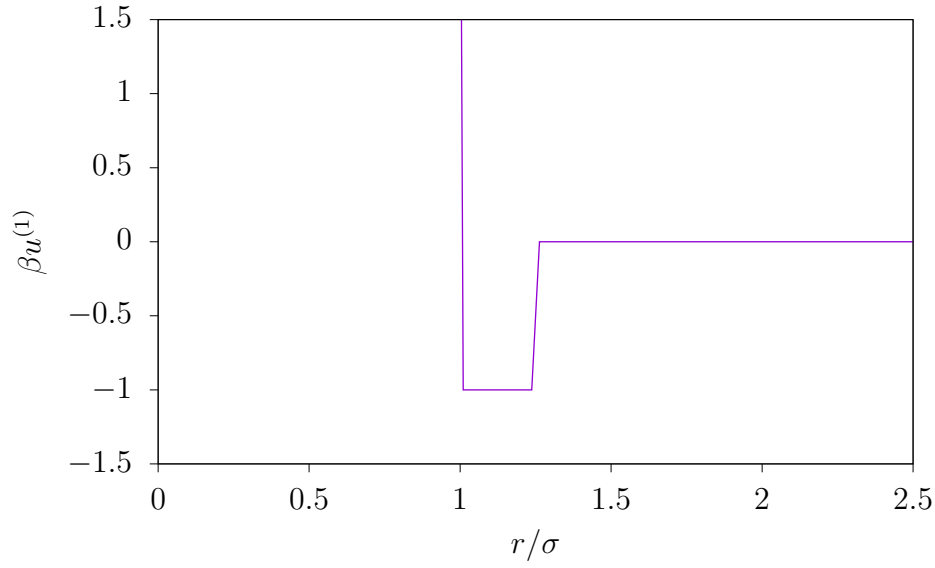


Figura 1.1: Potencial de ND y PC con alcance $\lambda = 1.25$ y profundidad $T^* = 1$.

1.2. Ecuación de estado

Para reducir la presión y la densidad volumétrica definimos a las siguientes cantidades:

$$P^* = \beta \sigma^3 P \quad \rightarrow \quad P = \frac{P^*}{\beta \sigma^3} \quad (1.11)$$

$$n^* = \sigma^3 \rho \quad \rightarrow \quad \rho = \frac{n^*}{\sigma^3} \quad (1.12)$$

Ahora reducimos la ecuación (1.8) usando estas definiciones.

$$\begin{aligned} P_{\text{ND}} &= \rho k_B T \left[1 + \frac{2}{3} \pi \sigma^3 \rho g_{\text{ND}}(\sigma^+) \right] \\ \beta P_{\text{ND}} &= \rho \left[1 + \frac{2}{3} \pi \sigma^3 \rho g_{\text{ND}}(\sigma^+) \right] \\ \beta \left(\frac{P_{\text{ND}}^*}{\beta \sigma^3} \right) &= \frac{n^*}{\sigma^3} \left[1 + \frac{2}{3} \pi \sigma^3 \frac{n^*}{\sigma^3} g_{\text{ND}}(1^+) \right] \\ P_{\text{ND}}^* &= n^* \left[1 + \frac{2}{3} \pi n^* g_{\text{ND}}(1^+) \right] \\ P_{\text{ND}}^* &= n^* [1 + n^* b^*] \end{aligned} \quad (1.13)$$

Donde hemos definido (a la Zwanzig)

$$b^* = \frac{2}{3} \pi g_{\text{ND}}(1^+) \quad (1.14)$$

Para la ecuación completa (1.7) hacemos

$$\begin{aligned}
 P &= P_{\text{ND}} - \rho^2 \left[a(\rho) + \rho \left(\frac{\partial a(\rho)}{\partial \rho} \right)_T \right] \\
 \frac{P^*}{\beta \sigma^3} &= \frac{P_{\text{ND}}^*}{\beta \sigma^3} - \frac{(n^*)^2}{\sigma^6} \left[a(\rho) + \frac{n^*}{\sigma^3} \left(\frac{\partial a(\rho)}{\partial \frac{n^*}{\sigma^3}} \right)_T \right] \\
 P^* &= P_{\text{ND}}^* - \frac{\beta (n^*)^2}{\sigma^3} \left[a(n^*) + n^* \left(\frac{\partial a(n^*)}{\partial n^*} \right)_{T^*} \right] \\
 P^* &= P_{\text{ND}}^* - (n^*)^2 \left[\frac{\beta}{\sigma^3} a(n^*) + n^* \left(\frac{\partial \frac{\beta}{\sigma^3} a(n^*)}{\partial n^*} \right)_{T^*} \right] \\
 P^* &= P_{\text{ND}}^* - (n^*)^2 \left[a^*(n^*) + n^* \left(\frac{\partial a^*(n^*)}{\partial n^*} \right)_{T^*} \right]
 \end{aligned} \tag{1.15}$$

Donde hemos definido

$$a^* = \frac{\beta}{\sigma^3} a(n^*) \tag{1.16}$$

Utilizando esta expresión en (1.2) (pero a la Zwanzig) obtenemos una reducción para a :

$$\begin{aligned}
 a &= -2\pi \int_{\sigma}^{\infty} u^{(1)}(r) g_{\text{ND}}(r) r^2 dr \\
 \frac{\sigma^3}{\beta} a^* &= -2\pi \int_{\sigma}^{\infty} u^{(1)}(r) g_{\text{ND}}(r) r^2 dr \\
 a^* &= -2\pi \int_{\sigma}^{\infty} [\beta u^{(1)}(r)] g_{\text{ND}}(r^*) \left(\frac{r}{\sigma} \right)^2 d\left(\frac{r}{\sigma} \right) \\
 a^* &= -2\pi \int_1^{\infty} [u^{*(1)}(r^*)] g_{\text{ND}}(r^*) (r^*)^2 dr^*
 \end{aligned} \tag{1.17}$$

Tomando el caso de Van der Waals ($g_{\text{ND}}(r^*) = 1$) se reduce a:

$$a^* = -2\pi \int_1^{\infty} [u^{*(1)}(r^*)] (r^*)^2 dr^* \tag{1.18}$$

1.3. Parámetros Críticos

1.3.1. Relación con los coeficientes de Van der Waals (termo clásica)

La ecuación de Van der Waals (1.1) muestra una temperatura crítica T_c :

$T > T_c$ La ecuación de estado $P - V$ es monovaluada y no hay transiciones al estado líquido.

$T < T_c$ Como la ecuación es cúbica en V , tiene dos extremales que se juntan en $T = T_c$.

Pensemos en la ecuación de Van der Waals como una función del volumen a una temperatura dada $P = P(V; T)$.

- Para temperaturas $T < T_c$ tendremos dos extremales para los cuales se cumple $(\partial_V P)_T = 0$.
- A medida que $T \rightarrow T_c$ tenemos un punto de inflexión con coordenadas (P_c, V_c, T_c) para el cual la segunda derivada se desvanece de modo que también se cumple $(\partial_V^2 P)_T = 0$.

Partiendo de (1.1):

$$\begin{aligned}
 P &= \frac{Nk_B T}{V - Nb} - \frac{aN^2}{V^2} \\
 \left(\frac{\partial P}{\partial V} \right)_T &= -\frac{Nk_B T}{(V - Nb)^2} + \frac{2aN^2}{V^3} \\
 \left(\frac{\partial^2 P}{\partial V^2} \right)_T &= \frac{2Nk_B T}{(V - Nb)^3} - \frac{6aN^2}{V^4}
 \end{aligned} \tag{1.19}$$

Aplicamos la condición en los puntos críticos y obtenemos el siguiente sistema de ecuaciones para los coeficientes a y b .

$$\left[\begin{array}{l} -\frac{Nk_B T_c}{(V_c - Nb)^2} + \frac{2aN^2}{V_c^3} = 0 \\ \frac{2Nk_B T_c}{(V_c - Nb)^3} - \frac{6aN^2}{V_c^4} = 0 \end{array} \right] \tag{1.20}$$

Multiplicamos a la primera ecuación de (1.20) por $\frac{2}{V_c - Nb}$ y sumamos ambas

$$\begin{aligned}
 \frac{2aN^2}{V_c^3} \left(\frac{2}{V_c - Nb} - \frac{3}{V_c} \right) &= 0 \\
 \frac{2}{V_c - Nb} &= \frac{3}{V_c}
 \end{aligned}$$

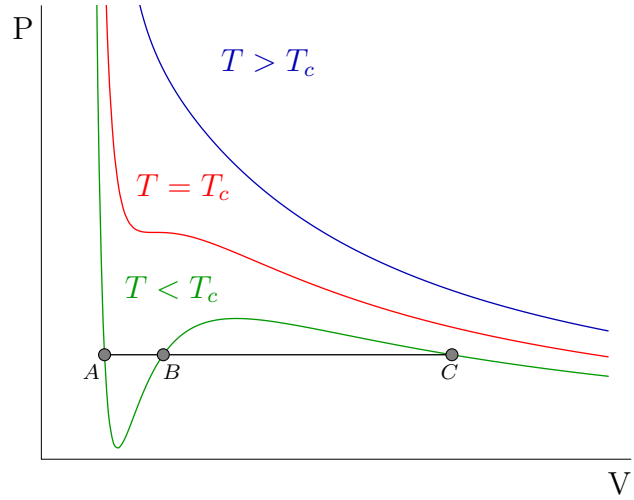


Figura 1.2: Diagrama de fases cualitativo de Van der Waals donde se muestran tres isothermas. Realmente el sistema sigue el camino ABC pues los puntos extremos son inestables.

$$V_c = 3Nb \quad (1.21)$$

$$b = \frac{V_c}{3N} \quad (1.22)$$

Usando este resultado (1.21) en la primera ecuación (1.20):

$$\begin{aligned} -\frac{Nk_B T_c}{(3Nb - Nb)^2} + \frac{2aN^2}{27N^3b^3} &= 0 \\ \frac{k_B T_c}{4} &= \frac{2a}{27b} \\ T_c &= \frac{8a}{27k_B b} \end{aligned} \quad (1.23)$$

Usando (1.22) obtenemos

$$a = \frac{9}{8} k_B T_c \frac{V_c}{N} \quad (1.24)$$

Finalmente, haciendo uso de (1.21) y (1.23) la presión dada por los coeficientes a y b queda:

$$P_c = \frac{a}{27b^2} \quad (1.25)$$

O bien

$$P_c = \frac{3}{8} \frac{Nk_B T_c}{V_c} \quad (1.26)$$

1.3.2. Potencial perturbativo (con Zwanzig)

Ahora obtendremos las expresiones para las variables termodinámicas críticas de Van der Waals para el caso de estudio con un potencial perturbativo de pozo cuadrado (1.9). Para ello utilizaremos la expresión para el coeficiente a^* (1.18) y el potencial reducido (1.10).

$$\begin{aligned} a^* &= -2\pi \int_1^\infty [u^{*(1)}(r^*)] g_{\text{ND}}(r^*) (r^*)^2 dr^* \\ &= -2\pi \left[\int_1^\lambda [u^{*(1)}(r^*)] g_{\text{ND}}(r^*) (r^*)^2 dr^* + \int_\lambda^\infty [u^{*(1)} g_{\text{ND}}(r^*) (r^*)] (r^*)^2 dr^* \right] \\ &= -2\pi \int_1^\lambda -\frac{1}{T^*} g_{\text{ND}}(r^*) (r^*)^2 dr^* \\ &= \frac{2\pi}{T^*} \int_1^\lambda g_{\text{ND}}(r^*) (r^*)^2 dr^* \end{aligned} \quad (1.27)$$

Para el caso de Van der Waals integramos y queda

$$a^* = \frac{2\pi}{3} \frac{\lambda^3 - 1}{T^*} \quad (1.28)$$

Para el coeficiente b^* tenemos ya la ecuación (1.14) que depende del potencial. Si tomamos la suposición sobre el modelo de Van der Waals (gas ideal), entonces obtenemos (1.3), que en su forma reducida queda:

$$b^* = \frac{2}{3} \pi \quad (1.3)$$

Una vez reducida. De (1.21), (1.23) y (1.25) se obtiene

$$V_c^* = 2\pi N \quad (1.29)$$

$$T_c^* = \frac{8}{27} (\lambda^3 - 1) \quad (1.30)$$

$$P_c^* = \frac{1}{18\pi} (\lambda^3 - 1) \frac{1}{T^*} \quad (1.31)$$

■ **Ejemplo** Veamos de qué orden son los valores para las variables críticas para un sistema dado. Sea $\lambda = 1.25$, resulta que $(\lambda^3 - 1) = 0.953125$, así que:

$$V_c^* \sim 6.2832 N$$

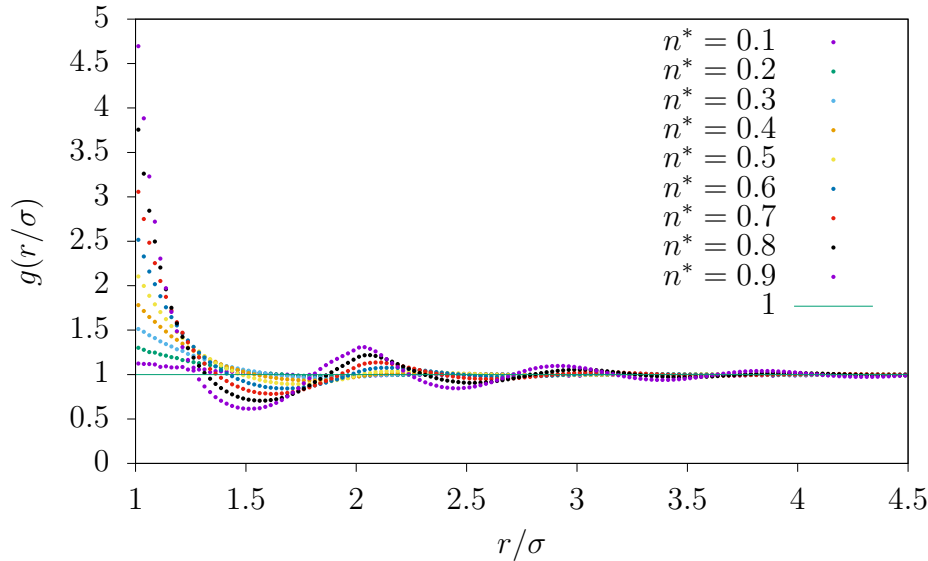
$$T_c^* \sim 0.2824$$

$$P_c^* \sim \frac{0.0168}{T^*}$$

Para este proyecto se eligió $T^* = 1$, de modo que simplifique el cálculo de propiedades. ■

1.4. Función de distribución radial ND

Como sabemos la función de distribución radial $g(r)$ brinda información de estructura. Es de esperar que para $n^* \rightarrow 0$, $g(r) \rightarrow 1$, que implica descorrelación entre partículas. Esto es que las partículas están tan alejadas unas de otras que no hay «vecinas», por lo que no forman estructura definida. Ahora bien, a medida que aumenta n^* esperamos que el empaquetamiento permita la formación de estructuras pues la interacción entre partículas es mayor. A continuación se muestra un gráfico de $g(r) - n^*$ para el modelo de potencial ND solamente.



Se puede observar que en el punto de contacto (una distancia σ) hay mayor número de partículas a medida que aumenta la concentración. Las sinuosidades de $g(r)$ indican la presencia de «vecinos» segundos, terceros, etc., hasta alcanzar el bulto a mayores concentraciones.

1.5. Ecuación de presión ND

Como sabemos, una ecuación de estado muy utilizada en la termodinámica es la de presión contra volumen, en este caso $P^* - n^*$. Para el estudio de la presión con el modelo ND tenemos ya la ecuación (1.13) junto con (1.14).

$$P_{\text{ND}}^*(n^*) = n^* \left[1 + \frac{2\pi}{3} n^* g_{\text{ND}}(1^+) \right] \quad (1.13)$$

Dado que n^* es elegida por el simulador, basta con obtener el valor de contacto $g_{\text{ND}}(1^+)$. La ecuación de estado de Carnahan-Starling para un sistema de esferas duras está dada por:

$$P^*(n^*) = n^* \frac{1 + \phi + \phi^2 - \phi^3}{(1 - \phi)^3} \quad , \quad \phi = \frac{\pi}{6} n^* \quad (1.32)$$

A continuación se muestra una gráfica con ambas ecuaciones de estado

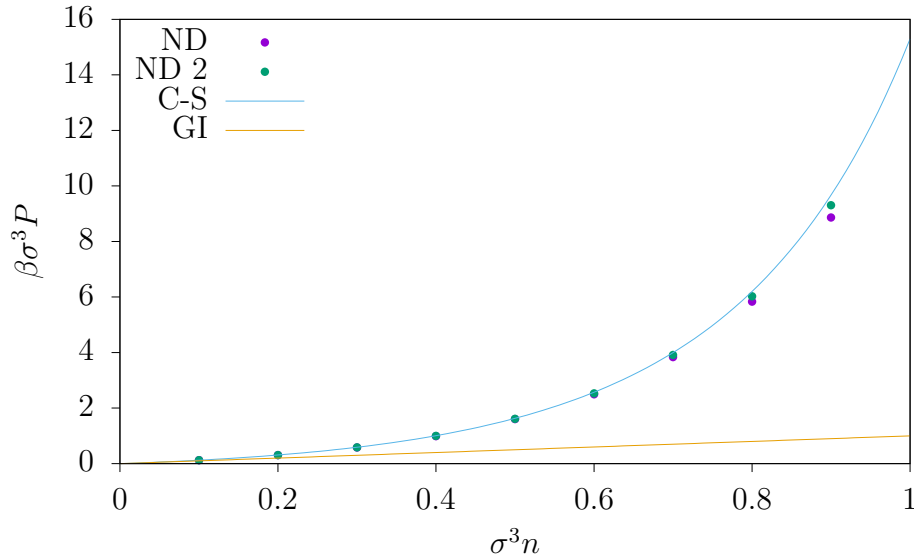


Figura 1.3

La diferencia entre ND y ND 2 es el tiempo de simulación. Para el caso ND se utilizaron 5×10^3 configuraciones; mientras que para ND 2 se simularon 1×10^6 . Dado que para concentraciones de 0.7 en adelante se utilizó una configuración inicial regular, simular pocas configuraciones implica que el sistema puede continuar en su arreglo cristalino. De esta manera la estadística mejora permitiendo que se olvide de su situación inicial. Se puede apreciar que las simulaciones tienden a la expresión exacta C-S (1.32).

1.6. Coeficientes a y b

A partir de las ecuaciones (1.27) y (1.14) calculamos los valores para a^* y b^* haciendo uso de la información estructural obtenida de las simulaciones (de las funciones $g(r)$).

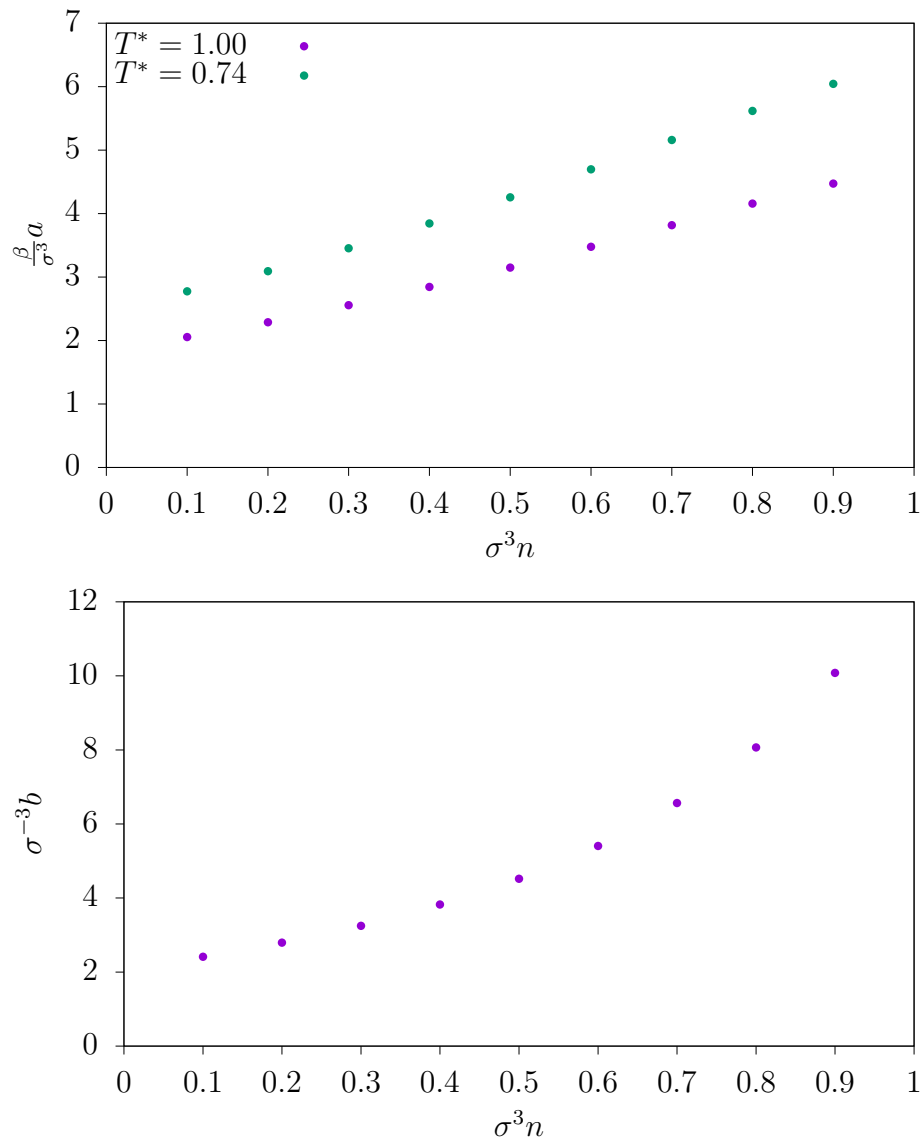
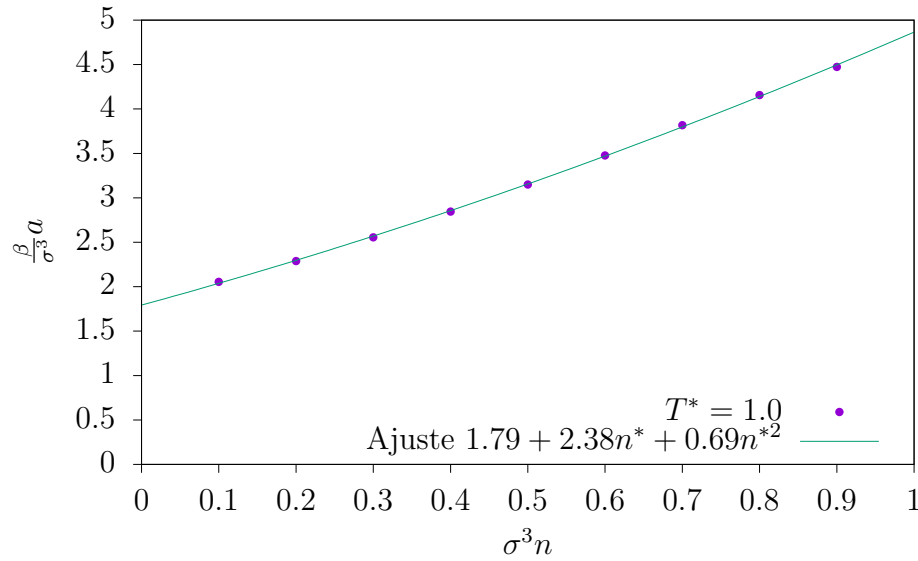


Figura 1.4

1.7. Ajuste para a

De los resultados para a se puede observar una ligera curvatura para concentraciones bajas, de modo que podemos pensar en ajustar una función polinomial de segundo orden.

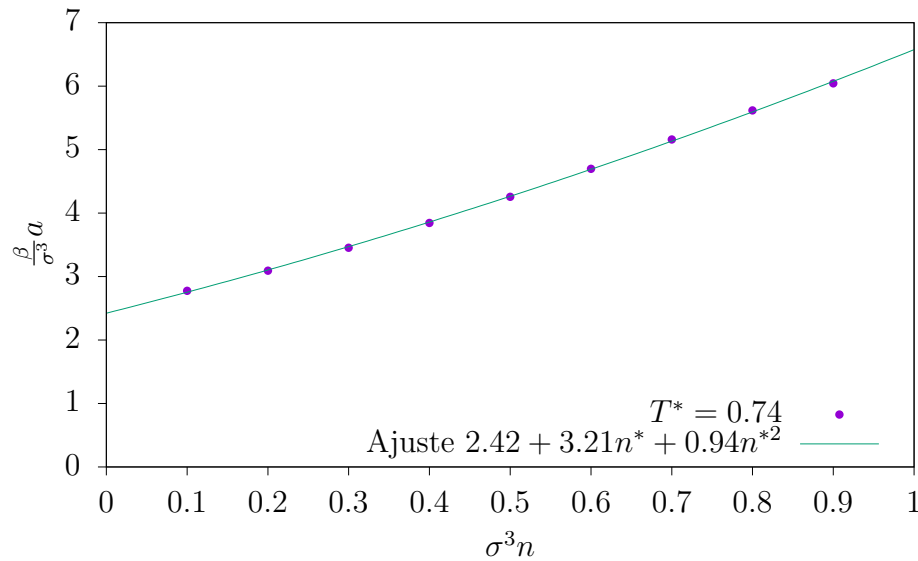


Expresando a como función de la concentración reducida tenemos:

$$a^*(n^*) = 0.69n^{*2} + 2.38n^* + 1.79$$

$$\partial_{n^*} a^* = 0.69n^* + 2.38$$

Para el otro caso de temperatura reducida:



Expresando a como función de la concentración reducida tenemos:

$$a^*(n^*) = 0.94n^{*2} + 3.21n^* + 2.42$$

$$\partial_{n^*} a^* = 0.94n^* + 3.21$$

1.8. Ecuación de presión con la teoría de perturbaciones de Zwanzig

A partir de la presión para ND y utilizando (1.15):

$$P^* = P_{\text{ND}}^* - (n^*)^2 \left[a^*(n^*) + n^* \left(\frac{\partial a^*(n^*)}{\partial n^*} \right)_{T^*} \right] \quad (1.15)$$

Pasamos a calcular la presión utilizando los dos casos de T^* que llevamos hasta el momento.

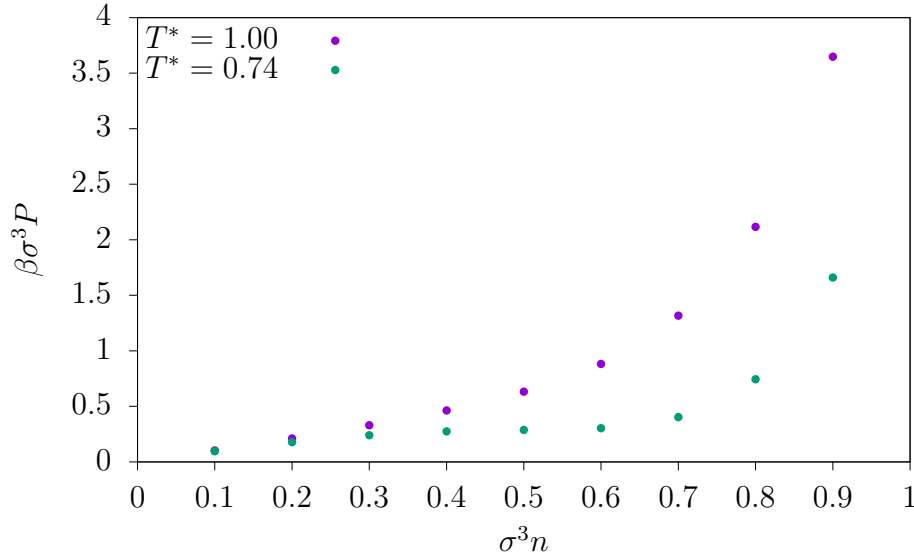


Figura 1.5

Como caso comparativo, incluimos las ecuaciones de presión de Van der Waals, de gas ideal y de esferas duras, junto con la que se obtuvo de la teoría de perturbaciones de Zwanzig. En este caso se compara tomando $T^* = 0.74$.

Modelo	Ecuación de presión
Gas ideal	n^*
ND	$n^* \left[1 + \frac{2\pi}{3} n^* g_{\text{ND}}(1^+) \right]$
Van der Waals	$\frac{n^*}{1 - n^* b^*} - n^{*2} a^*$
Zwanzig	$P_{\text{ND}}^* - (n^*)^2 \left[a^*(n^*) + n^* \left(\frac{\partial a^*(n^*)}{\partial n^*} \right)_{T^*} \right]$

De este cuadro comparativo notamos varias cosas:

- Todos los modelos coinciden para concentraciones muy bajas, i.e. el caso límite es el modelo de gas ideal.
- El modelo de Van der Waals es asintótico en $1/b^*$ por lo que al crecer la concentración a partir de cero, éste diverge del modelo de gas ideal rápidamente.

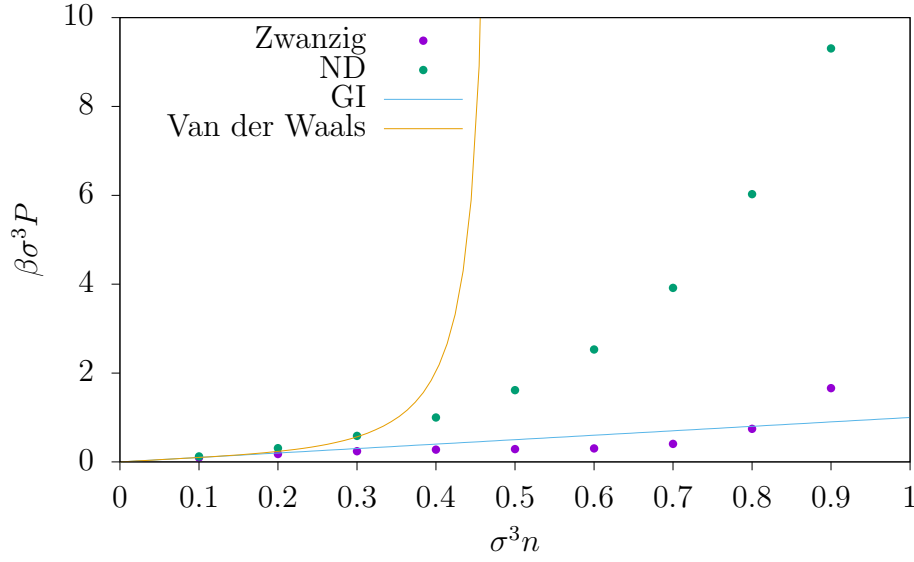


Figura 1.6

- El modelo de ND tiene un comportamiento creciente pero aparentemente regular.
- La teoría de perturbaciones de Zwanzig muestra que la presión se mantiene relativamente cercana a la de gas ideal, aunque es curioso que presenta cambio en la concavidad.

1.9. Energía promedio

De la teoría física estadística con la propuesta de Zwanzig para la función de partición es posible obtener una expresión para la energía media.

$$Z_N \approx (V - Nb)^N e^{-\beta N a^* n^*} \quad (1.33)$$

Siendo la energía media por partícula:

$$\bar{u} = \frac{1}{N} \frac{\partial \ln Z_N}{\partial \beta} = -a^* n^* \quad (1.34)$$

En la figura 1.7 se grafica la energía media por partícula para las dos isothermas que venimos analizando.

1.10. Validación de modelos teóricos

Ahora implementamos el código de simulación Monte Carlo para el sistema de esferas atractivas con pozo cuadrado para obtener la presión y la energía media por partícula en función de la concentración reducida para las isothermas, tomando $\lambda = 1.25$. Los resultados se incluyen a continuación.

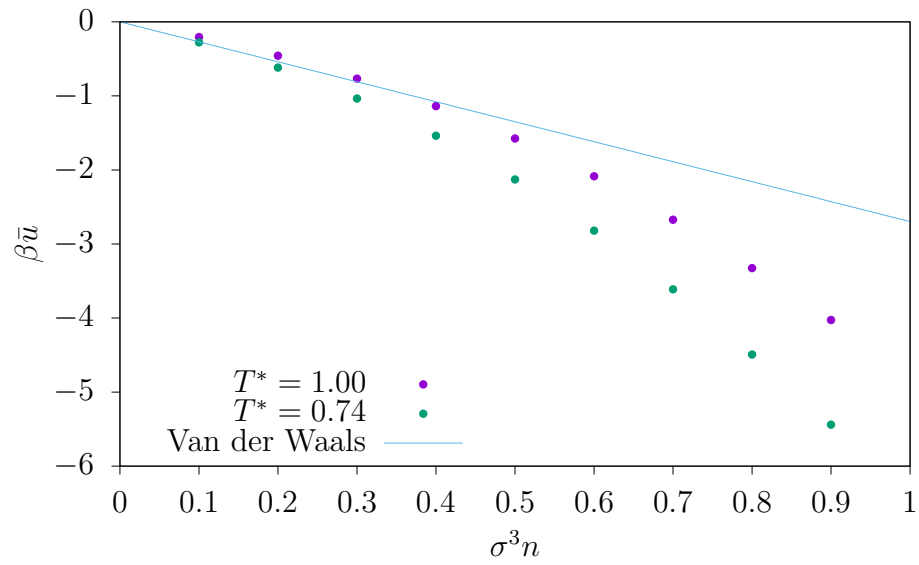


Figura 1.7

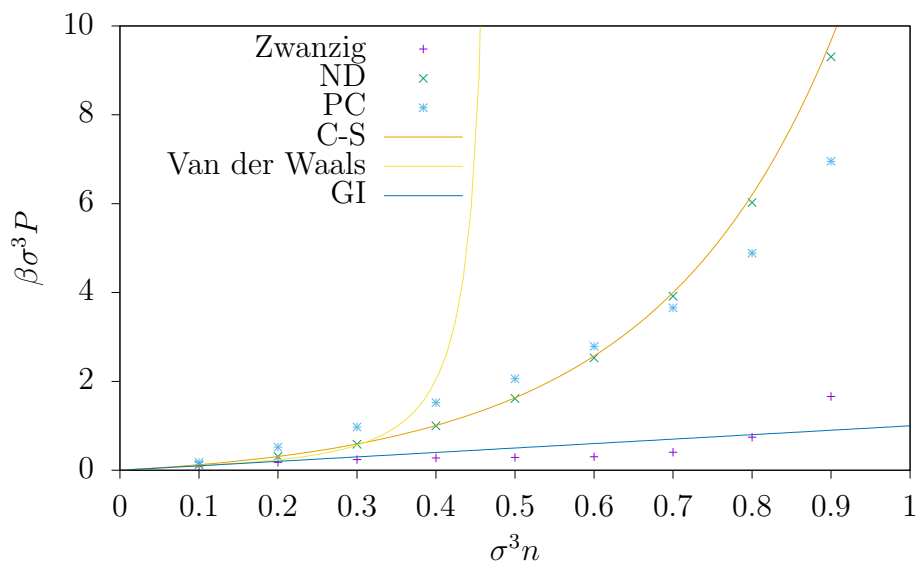


Figura 1.8

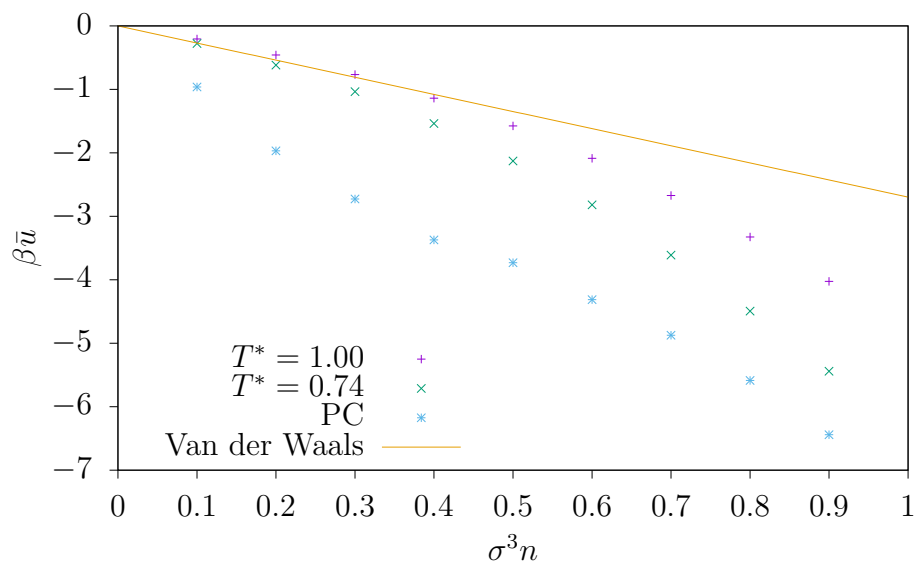


Figura 1.9

Capítulo 2

Exploración de propiedades estructurales y autodifusión de sistemas coloidales con un modelo de interacción FRAC

Introducción

A los modelos de potencial que tienen una parte atractiva y otra repulsiva se les conoce como modelos FRAC (Finite interparticle Repulsion with a longer range Attractive Component). En este proyecto se explorarán las propiedades estructurales y dinámicas de un sistema modelo de partículas que interaccionan entre sí con un potencial de interacción par FRAC de doble gaussiana (DG) como el siguiente:

$$u(r) = \epsilon e^{-\left(\frac{r}{\sigma}\right)^2} - \eta e^{-\left(\frac{r-\xi}{\sigma}\right)^2} \quad (2.1)$$

O bien

$$u(r) = \epsilon \left[e^{-\left(\frac{r}{\sigma}\right)^2} - \mu e^{-\left(\frac{r-\xi}{\sigma}\right)^2} \right] \quad , \quad \mu = \frac{\eta}{\epsilon} \quad (2.2)$$

Donde los parámetros son definidos positivos; ϵ y η son de carácter energético, y σ y ξ de longitud. Como puede verse en (2.1), corresponde a una superposición de una gaussiana repulsiva (positiva) y otra atractiva (negativa). Como puede verse, $\eta \rightarrow 0$ se recupera el caso del modelo de núcleo gaussiano (GCM¹) característico de repulsiones ultrasuaves.

2.1. Potencial

Antes de implementar las simulaciones reducimos el potencial de interacción (2.1) tomando como parámetros característicos $\{\sigma, \beta^{-1}\}$. Primero definimos las siguientes cantidades adimensio-

¹Gaussian Core Model por sus siglas en inglés

nales.

$$r^* = \frac{r}{\sigma} \quad \rightarrow \quad r = \sigma r^* \quad (2.3)$$

$$\xi^* = \frac{\xi}{\sigma} \quad \rightarrow \quad \xi = \sigma \xi^* \quad (2.4)$$

$$\epsilon^* = \beta \epsilon \quad \rightarrow \quad \epsilon = \frac{\epsilon^*}{\beta} \quad (2.5)$$

$$(2.6)$$

Partimos de (2.2) aprovechando que μ es un parámetro adimensional.

$$\begin{aligned} u(r) &= \epsilon \left[e^{-\left(\frac{r}{\sigma}\right)^2} - \mu e^{-\left(\frac{r-\xi}{\sigma}\right)^2} \right] \\ \beta u(r^*) &= \beta \epsilon \left[e^{-\left(\frac{\sigma r^*}{\sigma}\right)^2} - \mu e^{-\left(\frac{\sigma r^* - \sigma \xi^*}{\sigma}\right)^2} \right] \\ u^*(r^*) &= \epsilon^* \left[e^{-r^{*2}} - \mu e^{-(r^* - \xi^*)^2} \right] \end{aligned} \quad (2.7)$$

O bien

$$u^*(r^*) = \frac{1}{T^*} \left[e^{-r^{*2}} - \mu e^{-(r^* - \xi^*)^2} \right] \quad (2.8)$$

Para este proyecto se trabajará con los siguientes valores de parámetros:

Parámetro	Valor
μ (GCM)	0
μ (DG)	0.0263
T^*	0.01
ξ^*	3.0

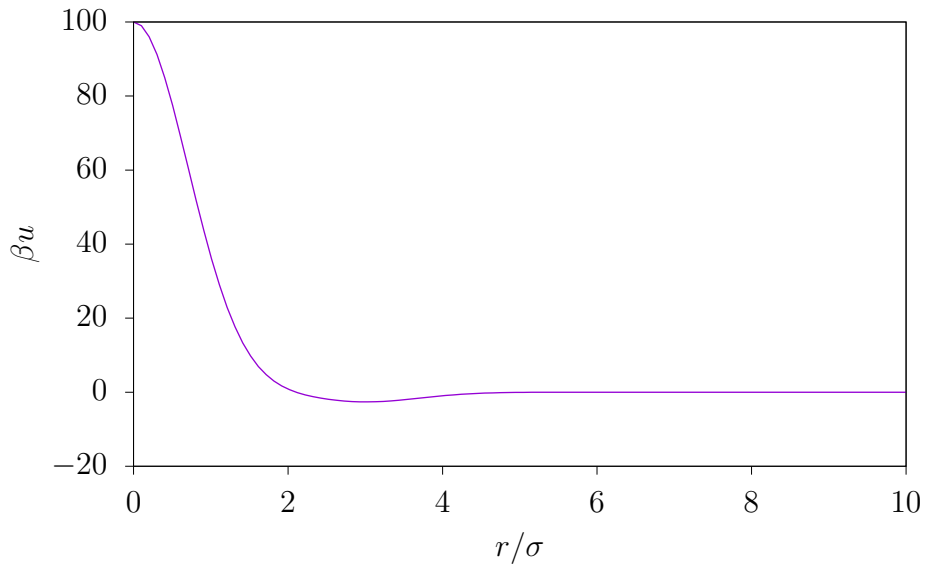


Figura 2.1: Potencial DG con $T^* = 0.01$, $\xi^* = 3.0$ y $\mu = 0.0263$.

Capítulo 3

Simulación con dinámica molecular para un sistema monodisperso de partículas que interaccionan con el potencial de Lennard-Jones

Introducción

En la simulación de dinámica molecular (DM) lo esencial es resolver las ecuaciones de movimiento de el sistema de N partículas, ya sea en el enfoque de Newton con N ecuaciones diferenciales de segundo orden o en el de Hamilton con $2N$ ecuaciones diferenciales de primer orden.

El algoritmo más utilizado es el de Verlet (1967) que es un método de solución numérica para la ecuación de Newton, y se resume en el siguiente algoritmo:

$$\vec{r}(t + \delta t) = 2\vec{r}(t) - \vec{r}(t - \delta t) + \vec{a}(t) (\delta t)^2 \quad (3.1)$$

En este algoritmo no se requieren las velocidades para calcular trayectorias, sin embargo son necesarias para cálculos de energía cinética.

$$\vec{v}(t) = \frac{1}{2} [\vec{r}(t + \delta t) - \vec{r}(t - \delta t)] \quad (3.2)$$

La expresión (3.1) posee error de cuarto orden, pero (3.2) lo tiene de tercer orden. Tildesley (1982) planea una versión del algoritmo de Verlet en dos etapas que se resume en el siguiente algoritmo:

$$\text{Primera etapa} \begin{cases} \vec{r}(t + \delta t) = \vec{r}(t) + \vec{v}(t) \delta t + \frac{1}{2} \vec{a}(t) (\delta t)^2 \\ \vec{v}\left(t + \frac{\delta t}{2}\right) = \vec{v}(t) + \frac{1}{2} \vec{a}(t) \delta t \end{cases} \quad (3.3)$$

$$\text{Segunda etapa} \begin{cases} \vec{v}(t + \delta t) = \vec{v}\left(t + \frac{\delta t}{2}\right) + \frac{1}{2} [\vec{a}(t) + \vec{a}(t + \delta t)] \delta t \end{cases} \quad (3.4)$$

Metodología

Para este proyecto se busca identificar las partes esenciales de un código de simulación de DM NVT básico con el algoritmo equivalente de Verlet (versión de velocidad, Swope, Andersen, Berens y Wilson, 1982) para un sistema de átomos iguales que interaccionan entre sí mediante un modelo de potencial central Lennard-Jones (LJ).

$$u^* = 4\epsilon^* \left[\left(\frac{1}{r^*} \right)^{12} - \left(\frac{1}{r^*} \right)^6 \right] \quad (3.5)$$

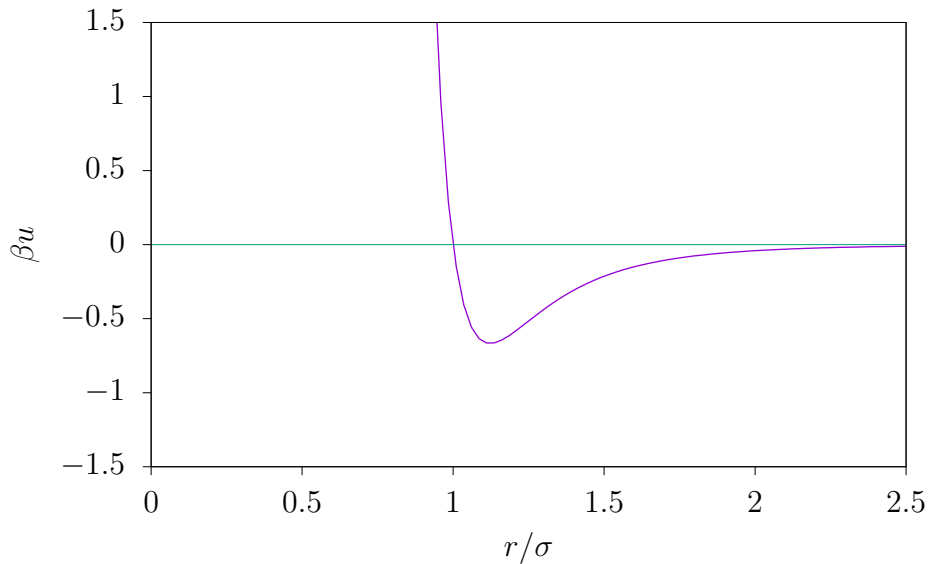


Figura 3.1: Potencial LJ con $T^* = 1.5$.

3.1. Código

A continuación se incluyen los fragmentos de código más relevantes del programa, se presentan comentarios y preguntas dentro de las mismas líneas de código.

Iniciamos definiendo la declaración implícita de variables reales con doble precisión. Luego algunos parámetros:

```

1  implicit real (8) (a-h, o-z)
2  parameter (n=250)           ! Numero de particulas
3  parameter (nn2=5000)        ! Configuraciones de equilibrio a guardar
4  parameter (nener=50000)     ! Configuraciones antes del equilibrio
5  parameter (free=3.0)        ! Grados de libertad
6  parameter (pi=3.1415927)    !
7  real, external :: zran      ! Funcion generadora de numeros aleatorios

```

Luego colocamos tres conjuntos de variables en contenedores (commons)

```

1 common/block1/rx,ry,rz,vx,vy,vz,fx,fy,fz
2 common/valores/dens,rcut,box,nstep
3 common/block2/rxc,ryc,rzc

```

Inicializamos los arreglos que contienen las posiciones, velocidades, fuerzas y configuraciones.

```

1 dimension cx(nn2),cy(nn2),cz(nn2)      ! Matrices de configuracion
2 dimension cxr(nn2),cyr(nn2),c zr(nn2)  ! Matrices de conf. (dinamicas)
3 dimension fx(n),fy(n),fz(n),vx(n),vy(n),vz(n) ! Fuerzas y velocidades
4 dimension rx(n),ry(n),rz(n),rxc(n),ryc(n),rzc(n) ! Posiciones (componentes)

```

Le damos valor a los parámetros de la simulación. En este caso:

```

1 nstep = 150000      ! Numero de configuraciones a calcular
2 iprint = 10000      ! Frecuencia de impresion en pantalla
3 nfrec = 20          ! Frecuencia de guardado de configuraciones
4 dt = 0.0001         ! Desplazamiento temporal
5 dens = 0.6          ! Concentracion reducida
6 temp = 1.5          ! Temperatura reducida de la configuracion
7 xm = 1.0            ! Masa de la particula
8 sigma = 1.0         ! Diametro de las particulas

```

Algunos cálculos previos

```

1 a = 1.0/3.0      !
2 box = (n/dens)**a ! Longitud del lado de la caja cubica
3 rcut = box/2.0    ! Radio de corte de la interaccion
4 tempi = temp       ! Temperatura inicial
5 ki2 = 0           ! Numero de configuraciones de equilibrio almacenadas

```

Se procede a imprimir en pantalla algunos datos de la simulación para informar al usuario. Luego se abren cuatro archivos para guardar la simulación: velocidades, configuración final, temperatura. Se llama la subrutina `configini` para generar la configuración inicial aleatoria tridimensional.

La subrutina `comvel` genera velocidades aleatorias a partir de una distribución gaussiana.

```

1 subroutine comvel(temp)
2   implicit real(8)(a-h,o-z)
3   parameter(n=250)
4   common/block1/rx,ry,rz,vx,vy,vz,fx,fy,fz
5   common/semillas/iseed3,iseed2,iseed1
6   dimension rx(n),ry(n),rz(n)
7   dimension fx(n),fy(n),fz(n),vx(n),vy(n),vz(n)
8
9   iseed = 43560      ! Semillas

```

```

10  iseed1 = 39467
11  iseed2 = 148420
12  iseed3 = 7845901
13  call azarg(iseed,ax) ! Numero aleatorio gaussiano
14  call azarg(iseed,ay)
15  call azarg(iseed,az)
16  rtemp = sqrt(temp) ! Raiz cuadrada del intervalo temporal
17  vx = rtemp*ax ! Fija velocidades aleatorias
18  vy = rtemp*ay
19  vz = rtemp*az
20  sumx = 0.0; sumy = 0.0; sumz = 0.0
21  do i=1,n ! Suma todas las velocidades
22    sumx = sumx + vx(i) ! ?: seria lo mismo tomar sumx = n*rtemp*ax ya
23    sumy = sumy + vy(i) ! que todas las entradas de vx tienen el mismo
24    sumz = sumz + vz(i) ! valor
25  end do
26  sumx = sumx/real(n) ! Promedio de vx
27  sumy = sumy/real(n)
28  sumz = sumz/real(n)
29  vx = vx - sumx ! Desviacion de la media
30  vy = vy - sumy
31  vz = vz - sumz
32  return
33  end subroutine comvel

```

Los datos resultantes en las listas **vx**, **vy** y **vz** se escriben en un archivo **vidm0.dat**. Luego se calculan las correcciones de largo alcance para la energía y el desplazamiento cuadrático medio.

```

1  sr3 = (sigma/rcut)**3 !
2  sr9 = sr3**3 !
3  boxcub = 1.0/box**3 ! Inverso del volumen de la celda de simulacion
4  ! Correccion largo alcance energia
5  vlrc = (8./9.)*pi*dens*real(n)*(sr9-3.0*sr3)
6  ! Correccion largo alcance termino del virial para la presion
7  wlrc = (16./9.)*pi*dens*real(n)*(2.0*sr9-3.0*sr3)

```

Ahora se llama a la subrutina **moveA** la cual implementa la primera etapa del algoritmo (3.3), aplicando las condiciones de imagen mínima. Aquí una muestra de las líneas de código que implementan esta parte, lo mismo para **y** y para **z**.

```

1  dt2 = dt/2.
2  dtsq2 = dt*dt2
3  rx = rx + dt*vx + dtsq2*fx/xm ! Para prop. estructurales
4  rx = rx - box*anint(rx/box) ! Cond. imagen minima
5  rxc = rxc + dt*vx + dtsq2*fx/xm ! Para prop. dinamicas
6  vx = vx + dt2*fx/xm ! Primera etapa

```

Luego se llama a la subrutina **force** que calcula las fuerzas entre partículas utilizando el modelo de interacción, en este caso LJ.


```

1  v = v + vlrc           ! Energia potencial mas la correccion
2  w = (w + wlrc)*boxcub  ! Presion (termino del virial)
3  e = xk + v             ! Energia mecanica total (cinetica mas potencial)
4  vn = v/real(n)         ! Energia potencial por particula
5  xkn = xk/real(n)        ! Energia cinetica por particula
6  en = e/real(n)         ! Energia total por particula
7  temp = 2.0*xnk/free     ! Temperatura
8  pres = dens*temp + w    ! Presion

```

Después se llama a la subrutina `moveB` que implementa la segunda etapa (3.4) del algoritmo.

```

1  vx = vx + dt2*fx/xm     ! Segunda etapa
2  xk = xk + vx**2 + vy**2 + vz**2 ! Cuadrado de la velocidad
3  xk = 0.5*xm*xk         ! Energia cinetica

```

Para mantener la temperatura del sistema consistente con la temperatura del baño térmico para una descripción NVT (comentario de LYR).

```

1  alfa = sqrt(tempi/temp)
2  vx = alfa*vx
3  vy = alfa*vy
4  vz = alfa*vz

```

Se procede a calcular todas las configuraciones (`nstep`).

Posteriormente se revisa si es momento de imprimir la información en pantalla. Se guarda la información de la energía por partícula, la presión y la temperatura en un archivo llamado `tedm0.dat`. Después, en caso de ser la última iteración del código, éste guarda la configuración final en un archivo.

Para guardar las configuraciones de equilibrio se utiliza una condición para evaluar si ya terminó y si es momento de realizar el muestreo. Además de que se calculan algunas cantidades para luego evaluar ciertos valores medios. Sólo se incluye para un caso, aunque se calculan medias para la energía total, energía cinética, energía potencial y la presión.

```

1  if ((mod(ISTEP,nfrec).eq.0).and.(istep.GT.nener)) then
2    if (istep.LE.nsteo) then
3      ki2 = ki2 + 1           ! Se cuenta una configuracion de equilibrio mas
4      ace = ace + en
5      acesq = acesq + en**2
6      cx(:,ki2) = rx(i)
7      cxc(:,ki2) = rxc(i)
8    end if
9  end if

```

3.2. Resultados

Tras correr el programa con los parámetros indicados obtuvimos los siguientes resultados:

Configuraciones inicial y final

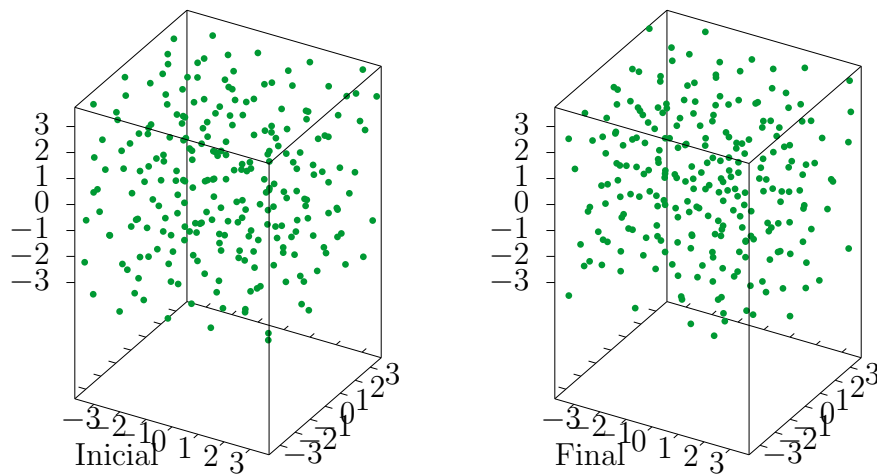


Figura 3.2

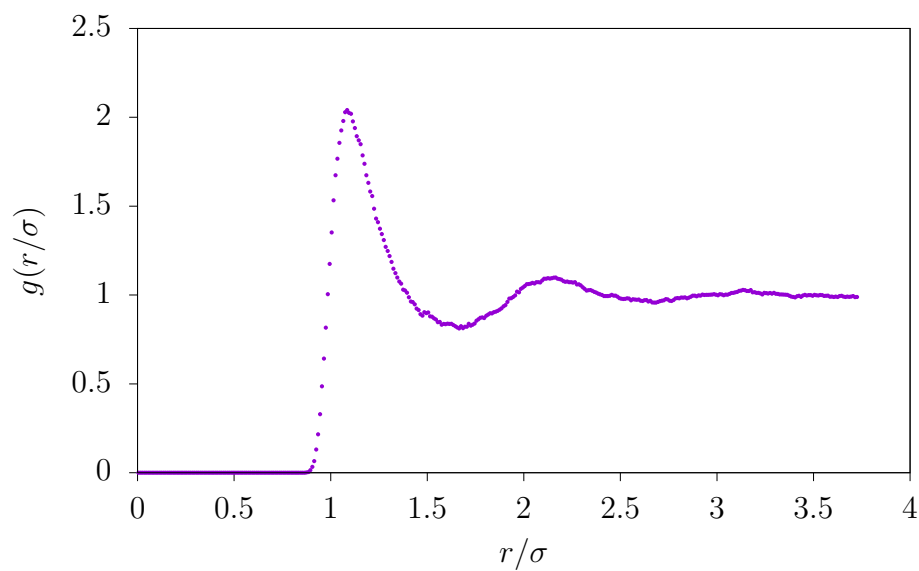


Figura 3.3: Función de distribución radial.

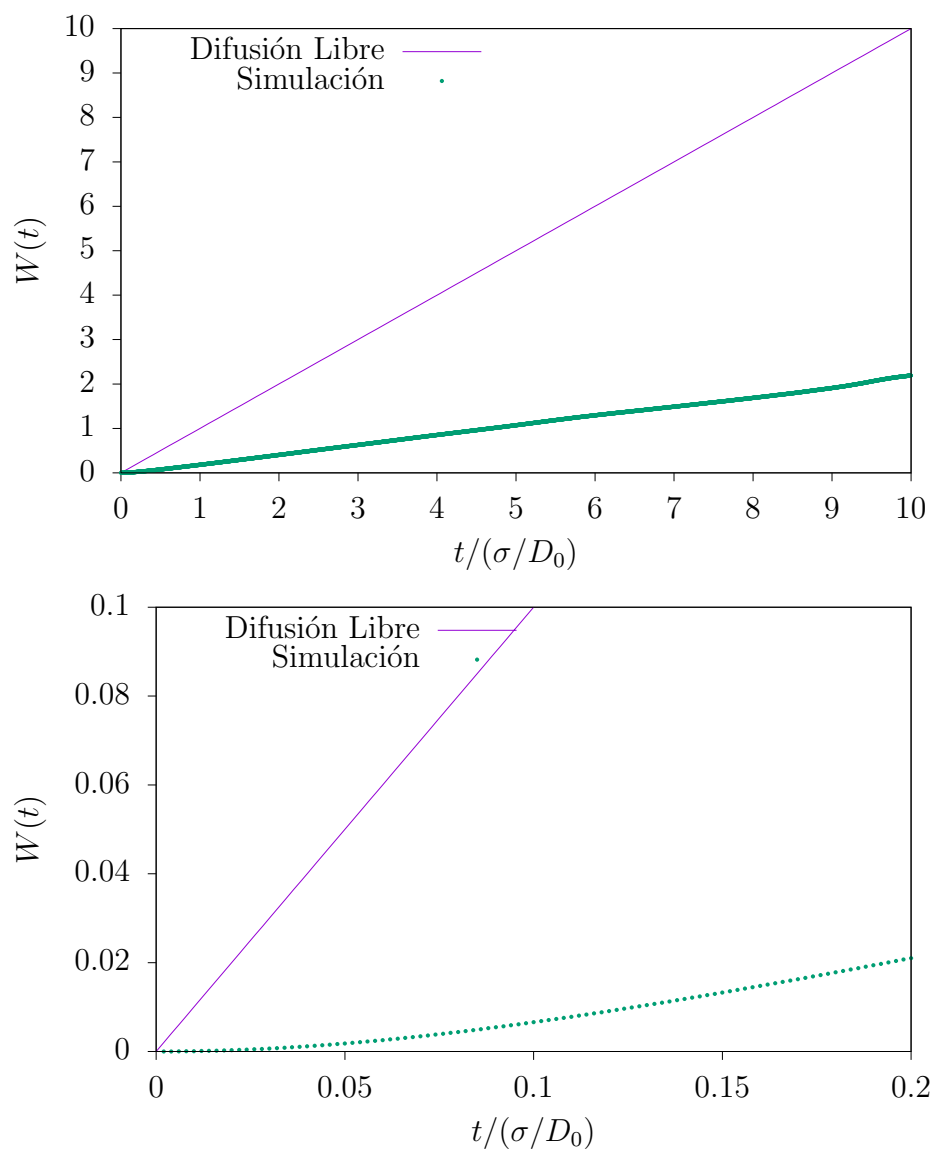


Figura 3.4: Desplazamiento cuadrático medio.

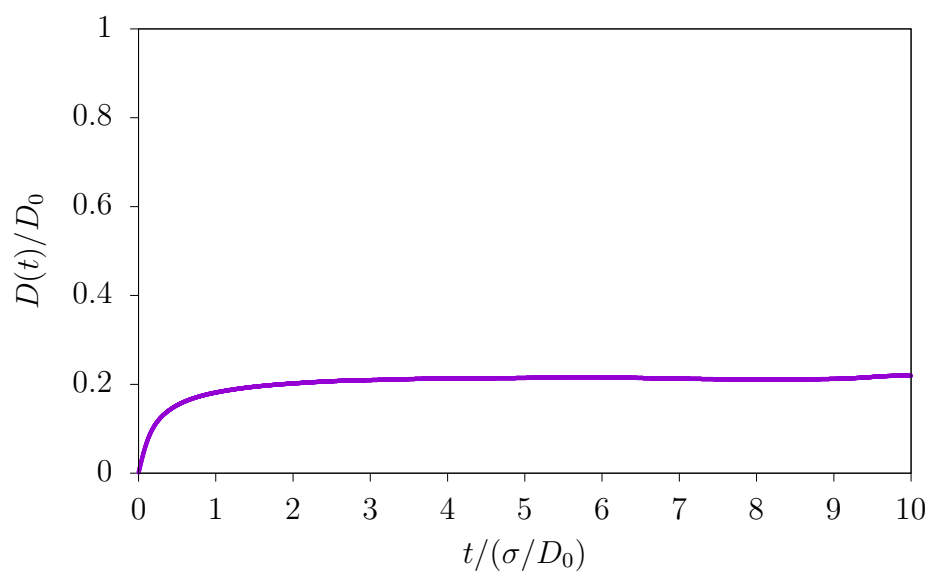


Figura 3.5: Difusión dependiente del tiempo.

Apéndice: Código Monte Carlo

A continuación se anexa el código completo utilizado para la simulación MC. Se han removido los bloques de comentarios iniciales y algunas funciones que no eran necesarias o fueron utilizadas para la implementación de la simulación. El programa contiene los siguientes módulos, subrutinas y funciones:

M `types` Definición de clases.

M `messages` Mensajes a pantalla.

M `iounits` Control de unidades de entrada y salida predeterminadas usando ISO Fortran.

M `runtime_vars` Variables re-utilizables durante la ejecución del programa.

M `user_vars` Parámetros y variables definidas por el simulador para la ejecución del programa.

S `exec_time` Calcula y despliega el tiempo de ejecución de un proceso.

S `random_seed_init` Inicializa una semilla aleatoria para el generador de números aleatorios.

F `random_normal` Genera un número aleatorio con distribución gaussiana normal.

M `modules` Carga todos los procedimientos enlistados anteriormente.

M `models` Los modelos de interacción (ND y PC).

S `configini` Configuración inicial regular o aleatoria tridimensional.

S `ensemble_energy` Energía de la configuración.

S `particle_energy` Energía de potencial entre partículas dada por el modelo de interacción.

S `mc` Algoritmo MC.

S `gdr` Cálculo de la función de distribución radial.

P `main` Programa principal.

```

1  module types
2    implicit none
3    save
4    integer, parameter, public :: i1b = selected_int_kind(2)           !max 127
5    integer, parameter, public :: i2b = selected_int_kind(4)           !max 32767
6    integer, parameter, public :: i4b = selected_int_kind(9)           !max ~2.1e9
7    integer, parameter, public :: i8b = selected_int_kind(16)          !max ~9.2e21
8    integer, parameter, public :: sp  = selected_real_kind(5,30)       !max ~3.4e38
9    integer, parameter, public :: dp  = selected_real_kind(12,200)     !max ~1.7e308
10 end module types
11
12 module messages
13   public
14   character(len=*), parameter :: suc_mess = '(" Pass. ")'
15   character(len=*), parameter :: err_mess = '(" Fail. Aborting... ")'
16   character(len=*), parameter :: baseskip = '("====")'
17   character(len=*), parameter :: fileopen = '(" Opening file. ")'
18   character(len=*), parameter :: fileclse = '(" Closing file. ")'
19   character(len=*), parameter :: alloc    = '(" Allocating array. ")'
20   character(len=*), parameter :: dealloc  = '(" Deallocating array. ")'
21 end module messages
22
23 module iounits
24   use types, only : i1b
25   use iso_fortran_env, only : output_unit, input_unit
26   implicit none
27   public
28   integer(i1b), parameter :: iounit1 = output_unit
29   integer(i1b), parameter :: iounit2 = output_unit + 1
30   integer(i1b), parameter :: iounit3 = output_unit + 2
31 end module iounits
32
33 module runtime_vars
34   use types, only : i1b, sp
35   implicit none
36   public
37   integer(i1b) :: ierror, istat      ! Flags
38   real(sp) :: start, finish         ! Run-time variables
39 end module runtime_vars
40
41 module modules
42   use messages
43   use iounits
44   use runtime_vars
45   use user_vars
46
47   contains
48
49   subroutine exec_time(start, finish)
50     use types, only : i1b, sp; use iounits
51     implicit none
52     real(sp), intent(in) :: start, finish
53     real(sp) :: time, sec
54     integer(i1b) :: mint, hr
55

```

```

56     time = finish - start
57     if (time.LT.60.) then
58         sec = time
59         write(iounit1, '(f6.3,A)') sec, " sec"
60     else if ((time.GE.60.) .AND. (time.LT.3600.)) then
61         mint = int(time/60.,i1b)
62         sec = time - mint*60
63         write(iounit1, '(i2,A,f6.3,A)') mint, ":", sec, " min"
64     else
65         hr = int(time/3600.,i1b)
66         mint = int((time - hr*3600.)/60.,i1b)
67         sec = time - hr*3600. - mint*60.
68         write(iounit1, '(i2,A,i2,A,f6.3,A)') hr, ":", mint, ":", sec, " hr"
69     end if
70 end subroutine exec_time
71
72 subroutine random_seed_init()
73     integer :: i,n,clock
74     integer, allocatable :: seed(:)
75     call random_seed(size=n)
76     allocate(seed(n))
77     call system_clock(count=clock)
78     seed = clock + 37*(/(i-1,i=1,n)/)
79     call random_seed(put=seed)
80     deallocate(seed)
81 end subroutine random_seed_init
82
83 real(dp) function random_normal()
84 ! Adapted from the following Fortran 77 code
85 !     ALGORITHM 712, COLLECTED ALGORITHMS FROM ACM.
86 !     THIS WORK PUBLISHED IN TRANSACTIONS ON MATHEMATICAL SOFTWARE,
87 !     VOL. 18, NO. 4, DECEMBER, 1992, PP. 434-435.
88 !
89 ! The function random_normal() returns a normally distributed pseudo-random
90 ! number with zero mean and unit variance.
91 !
92 ! The algorithm uses the ratio of uniforms method of A.J. Kinderman
93 ! and J.F. Monahan augmented with quadratic bounding curves.
94 implicit none
95 ! Local variables
96 real(dp) :: s = 0.449871, t = -0.386595, a = 0.19600, b = 0.25472, &
97         r1 = 0.27597, r2 = 0.27846, u, v, x, y, q
98 ! Generate P = (u,v) uniform in rectangle enclosing acceptance region
99 do
100     call random_number(u)
101     call random_number(v)
102     v = 1.7156 * (v - 0.5_dp)
103     ! Evaluate the quadratic form
104     x = u - s
105     y = abs(v) - t
106     q = x**2 + y*(a*y - b*x)
107     ! Accept P if inside inner ellipse
108     if (q < r1) exit
109     ! Reject P if outside outer ellipse
110     if (q > r2) cycle
111     ! Reject P if outside acceptance region

```

```

112     if (v**2 < -4.0*LOG(u)*u**2) exit
113 end do
114
115 ! Return ratio of P's coordinates as the normal deviate
116 random_normal = v/u
117 return
118 end function random_normal
119
120 end module modules
121
122 module user_vars
123   use types, only : i2b, i4b, dp
124   implicit none
125   public
126   save
127
128   integer(i4b), parameter :: npart = 512
129   integer(i4b), parameter :: nconfig = 55000
130   integer(i4b), parameter :: nthrm = 5000
131   integer(i4b), parameter :: isave = 10
132   integer(i4b), parameter :: dmax_rescale = 1000
133   real(dp), parameter :: sigma = 1.0
134   real(dp), parameter :: deltaR = 0.025
135   real(dp), parameter :: pi = 4.0_dp*datan(1._dp)
136
137   ! NON-FIXED Common variables. May change during execution.
138   real(dp) :: dens = 0.
139   real(dp) :: phi = 0.
140   real(dp) :: ratio_max = 0.5
141   real(dp) :: dmax = 0.05
142   real(dp) :: ener_lrc = 0.
143   real(dp) :: ener = 0., sum_ener = 0.
144   real(dp) :: edgeL = 1.0
145   real(dp) :: rcut = 1.0
146   real(dp) :: x(npart), y(npart), z(npart)
147   real(dp), allocatable, dimension(:, :) :: cx, cy, cz
148
149   ! Square well model parameters
150   real(dp), parameter :: eps_sw = 1/0.74 ! 1/T*
151   real(dp), parameter :: lambda_sw = 1.25
152
153 end module user_vars
154
155 module models
156   use ieee_arithmetic, only : ieee_value, ieee_positive_inf
157   use user_vars
158   use types, only : dp
159   implicit none
160
161   contains
162
163   real(dp) function hard_nucleus(rij) result(u)
164     real(dp), intent(in) :: rij
165     if (rij.LT.sigma) then
166       u = ieee_value(1.0, ieee_positive_inf)
167     else

```



```

168     u = 0.
169   end if
170 end function hard_nucleus
171
172 real(dp) function square_well(rij,eps,lambda) result(u)
173   real(dp), intent(in) :: rij, eps, lambda
174   if (rij.LE.sigma) then
175     u = ieee_value(1.0,ieee_positive_inf)
176   elseif ((rij.GT.sigma).AND.(rij.LE.(sigma*lambda))) then
177     u = -eps
178   else
179     u = 0.
180   end if
181 end function square_well
182
183 end module models
184
185 subroutine configini_cube_3d()
186   use types, only : dp, i2b
187   use modules
188   implicit none
189   character(len=60) :: doc
190   real(dp) :: space, pini      ! Particle spacing and position of the first
191   integer(i2b) :: i, j, l, k=0, n2
192
193   call cpu_time(start)
194
195   n2 = int(npart*(1./3.),i2b)      ! Particles per side of the cube
196   space = edgeL/real(n2,dp)
197   pini = (space-edgeL)/2._dp
198
199   write(doc, '(A,F6.3,A)') "configs\configini", dens, ".txt"
200   open(iounit2, file=doc, status='replace', action='write')
201
202   do l=1,n2
203     do j=1,n2
204       do i=1,n2
205         k = k + 1_i2b
206         x(k) = pini + real(i-1,dp)*space
207         y(k) = pini + real(j-1,dp)*space
208         z(k) = pini + real(l-1,dp)*space
209         write(iounit2,*) k, x(k), y(k), z(k)
210       end do
211     end do
212   end do
213
214   !===== Finish procedure =====
215   close(iounit2)
216   call cpu_time(finish)
217   write(iounit1,baseskip)
218   write(iounit1, '("Initial configuration done!")')
219   call exec_time(start, finish)
220 end subroutine configini_cube_3d
221
222 subroutine configini_rand_3d()
223   use types, only : dp, i2b

```

```

224 use modules
225 implicit none
226 character(len=60) :: doc
227 integer(i2b) :: i, j
228 real(dp) :: r(1:3)
229 real(dp) :: xij, yij, zij, d
230 logical :: right, left, up, down, front, back
231
232 call cpu_time(start)
233
234 write(doc, '(A,F6.3,A,I4,A)') "configs\configini", dens, ".txt"
235 open(iounit2, file=doc, status='replace', action='write')
236 call random_seed_init()
237
238 do i=1, npart
239 100 call random_number(r)
240     r = r - 0.5_dp
241     x(i) = r(1)*edgeL
242     y(i) = r(2)*edgeL
243     z(i) = r(3)*edgeL
244     right = (x(i)+sigma/2.).LT.(edgeL/2.)
245     left = (x(i)-sigma/2.).GT.(-edgeL/2.)
246     up = (y(i)+sigma/2.).LT.(edgeL/2.)
247     down = (y(i)-sigma/2.).GT.(-edgeL/2.)
248     front = (z(i)+sigma/2.).LT.(edgeL/2.)
249     back = (z(i)-sigma/2.).GT.(-edgeL/2.)
250     ! Check if particle is inside the cell
251     if (right.AND.left.AND.down.AND.up.AND.front.AND.back) then
252         do j=1, i-1_i2b
253             xij = x(i) - x(j)
254             yij = y(i) - y(j)
255             zij = z(i) - z(j)
256             d = sqrt(xij*xij+yij*yij+zij*zij)
257             ! Overlap between the i-th and j-th particle
258             if (d.LT.1.0) goto 100
259         end do
260     else
261         goto 100 ! Outside the cell: generate another position
262     end if
263     write(iounit2,*) i, x(i), y(i), z(i)
264 end do
265
266 !===== Finish procedure =====
267 close(iounit2)
268 call cpu_time(finish)
269 write(iounit1,baseskip)
270 write(iounit1, '("Initial configuration done!")')
271 call exec_time(start, finish)
272 end subroutine configini_rand_3d
273
274 subroutine ensemble_energy_3d()
275     use types, only : dp, i2b
276     use modules
277     use models, only : square_well, hard_nucleus !!!! MODEL !!!!
278     implicit none
279     real(dp) :: xij, yij, zij, rij, enerij

```

```

280 integer(i2b) :: i, j
281
282 call cpu_time(start)
283
284 ener = 0.
285 do i = 1, npart-1, 1
286   do j = i+1_i2b, npart
287     xij = x(j)-x(i)
288     yij = y(j)-y(i)
289     zij = z(j)-z(i)
290     ! Minimal image condition
291     xij = xij - edgeL*anint(xij/edgeL)
292     yij = yij - edgeL*anint(yij/edgeL)
293     zij = zij - edgeL*anint(zij/edgeL)
294     rij = sqrt(xij*xij + yij*yij + zij*zij)
295     ! Interaction model implementation
296     if (rij.LT.rcut) then
297       !enerij = hard_nucleus(rij) ! Change for different models
298       enerij = square_well(rij, eps_sw, lambda_sw)
299       ener = ener + enerij
300     end if
301   end do
302 end do
303 !===== Finish procedure =====
304 call cpu_time(finish)
305 write(iounit1, baseskip)
306 write(iounit1, '("Initial configuration energy done!")')
307 call exec_time(start, finish)
308 end subroutine ensemble_energy_3d
309
310 subroutine particle_energy_3d(xi, yi, zi, i, penergy)
311 use types, only : dp, i2b
312 use modules
313 use models, only : square_well, hard_nucleus !!!! MODEL !!!!
314 implicit none
315
316 real(dp), intent(in) :: xi, yi, zi
317 real(dp), intent(inout) :: penergy
318 integer(i2b), intent(in) :: i
319 real(dp) :: xij, yij, zij, rij, enerij
320 integer(i2b) :: j
321
322 penergy = 0._dp
323 do j = 1, npart
324   if (i.NE.j) then
325     xij = xi - x(j)
326     yij = yi - y(j)
327     zij = zi - z(j)
328     ! Minimal image condition
329     xij = xij - edgeL*dnint(xij/edgeL)
330     yij = yij - edgeL*dnint(yij/edgeL)
331     zij = zij - edgeL*dnint(zij/edgeL)
332     rij = sqrt(xij*xij + yij*yij + zij*zij)
333     ! Interaction model implementation
334     if (rij.LT.rcut) then
335       !enerij = hard_nucleus(rij) ! Change for different models

```

```

336         enerij = square_well(rij,eps_sw,lambda_sw)
337         penergy = penergy + enerij
338     end if
339 end if
340 end do
341
342 end subroutine particle_energy_3d
343
344 subroutine mc_3d()
345     use types, only : dp, i2b, i4b
346     use modules
347     implicit none
348     character(len=60) :: doc, doc2
349     integer(i4b) :: i, j, col
350     integer(i4b) :: accept, totalmove
351     real(dp) :: ener_old, ener_new, xnew, ynew, znew, ener_pp
352     real(dp) :: delta_ener, r(1:3), delta_cut, alpha!, ratio
353
354     call cpu_time(start)
355
356     ! Initialize variables
357     delta_cut = 75._dp
358     ener_old = 0._dp
359     ener_new = 0._dp
360     totalmove = 0_i4b
361     accept = 0_i4b
362     col = 0_i2b
363
364     call random_seed_init()
365     write(doc2, '(A,F6.3,A)') "ener\ener_pp_mc", dens, ".txt"
366     open(iounit2, file=doc2)
367
368     Configs: do j=1, nconfig
369         Move: do i=1, npart
370             ! Current values
371             call particle_energy_3d(x(i),y(i),z(i),i,ener_old)
372             ! Tentative move
373             call random_number(r)
374             xnew = x(i) + (2.0*r(1)-1.0)*dmax
375             ynew = y(i) + (2.0*r(2)-1.0)*dmax
376             znew = z(i) + (2.0*r(3)-1.0)*dmax
377             ! Periodic conditions
378             xnew = xnew - edgeL*anint(xnew/edgeL)
379             ynew = ynew - edgeL*anint(ynew/edgeL)
380             znew = znew - edgeL*anint(znew/edgeL)
381             call particle_energy_3d(xnew,ynew,znew,i,ener_new) ! "new" values
382             ! Tentative energy variation
383             delta_ener = ener_new - ener_old
384             ! Monte Carlo Algorithm
385             if (delta_ener.LT.delta_cut) then
386                 call random_number(alpha)
387                 !print*, "True", j, i, delta_ener, ener_pp ! Debugging
388                 if (delta_ener.LE.0.) then
389                     x(i) = xnew
390                     y(i) = ynew
391                     z(i) = znew

```

```

392         ener = ener + delta_ener
393         accept = accept + 1_i4b
394         ! Evaluate Boltzmann factor
395         elseif (exp(-delta_ener).GT.alpha) then
396             x(i) = xnew
397             y(i) = ynew
398             z(i) = znew
399             ener = ener + delta_ener
400             accept = accept + 1_i4b
401         end if
402     end if
403     ener_pp = ener/real(npart,dp)
404 end do Move
405 totalmove = totalmove + 1_i4b
406
407 ! Save energy per particle for the j-th configuration
408 write(iounit2,*) j, ener_pp
409
410 ! Maximum displacement optimization (optional) =====
411 ! Removed!!
412
413 !Upper boundary
414 if (dmax.GT.2.) dmax = 2.0
415 ! Process monitoring on screen
416 if (mod(j,dmax_rescale).EQ.0) write(iounit1, '("Working",i10,f12.6)') totalmove, ener_pp
417
418 ! For estimating mean energy per particle
419 if (j.GT.ntherm) sum_ener = sum_ener + ener_pp
420
421 ! Verify if configuration is to be saved (cx,cy,cz)
422 if ((mod(j,isave).EQ.0).AND.(j.GT.ntherm)) then
423     col = col + 1_i4b
424     cx(:,col) = x
425     cy(:,col) = y
426     cz(:,col) = z
427 end if
428
429 end do Configs
430 close(iounit2)
431
432 ! Get mean energy per particle in over all ensembles.
433 sum_ener = sum_ener/real(nconfig-ntherm,dp)
434
435 ! Count particles inside the cell
436 j = 0_i2b
437 do i=1, npart
438     if ((abs(x(i)).LT.(edgeL/2.)).AND.(abs(y(i)).LT.(edgeL/2.)).AND.(abs(z(i)).LT.(edgeL/2.)))
439 end do
440
441 ! ===== Save to file =====
442 write(doc, '(A,F6.3,A)') "configs\configfin", dens, ".txt"
443 open(iounit2, file=doc, status='replace', action='write', iostat=istat)
444 write(iounit1, baseskip)
445 write(iounit1, fileopen)
446 if (istat.EQ.0) then
447     write(iounit1, suc_mess)

```

```

448     else
449         write(iounit1, err_mess)
450         go to 100
451     end if
452
453     do i=1, npart
454         write(iounit2,*) i, x(i), y(i), z(i)
455     end do
456
457     !===== Finish procedure =====
458     close(iounit2, iostat=ierror)
459     write(iounit1, fileclse)
460     if (ierror.EQ.0) then
461         write(iounit1, suc_mess)
462     else
463         write(iounit1, err_mess)
464         go to 100
465     end if
466
467     write(iounit1, '("Particles inside the cell",i10)') j
468     write(iounit1, '("Mean energy per particle =",f10.5)') sum_ener
469     write(iounit1, '("Monte Carlo done!")')
470 100 call cpu_time(finish)
471     call exec_time(start, finish)
472 end subroutine mc_3d
473
474 subroutine gdr_3d(gplus)
475     use types, only: dp, i4b
476     use modules
477     implicit none
478     character(len=60) :: doc
479     real(dp), intent(out) :: gplus
480     integer(i4b), allocatable, dimension(:) :: hist
481     integer(i4b) :: i, j, k, configs, totbins, bin
482     real(dp) :: xij, yij, zij, rij, g, r(1:3), parts, summ=0.5
483     real(dp), allocatable, dimension(:) :: integ
484
485     call cpu_time(finish)
486
487     totbins = int((edgeL/2._dp)/deltaR, i4b)
488
489     allocate(hist(1:totbins), integ(1:totbins))
490     hist = 0
491     integ = 0.
492     configs = size(cx, 2, i4b)
493
494     do i=1, npart
495         do j=1, npart
496             if(j.EQ.i) cycle
497             do k=1, configs
498                 xij = cx(j,k) - cx(i,k)
499                 yij = cy(j,k) - cy(i,k)
500                 zij = cz(j,k) - cz(i,k)
501                 ! Periodic conditions
502                 xij = xij - edgeL*anint(xij/edgeL)
503                 yij = yij - edgeL*anint(yij/edgeL)

```

```

504     zij = zij - edgeL*anint(zij/edgeL)
505     rij = sqrt( xij*xij + yij*yij + zij*zij )
506     bin = ceiling( rij/deltaR ,i4b)
507     if ( bin.LE.totbins ) hist(bin) = hist(bin) + 1
508   end do
509 end do
510 end do
511
512 ! ===== Get g(r) & save to file =====
513 write(doc, '(A,F6.3,A,I4,A)') "gdr\gdr3d", dens, ".txt"
514 open(iounit2, file=doc, status='replace', action='write', iostat=istat)
515   write(iounit1, baseskip)
516   write(iounit1, fileopen)
517   if (istat.EQ.0) then
518     write(iounit1, suc_mess)
519   else
520     write(iounit1, err_mess)
521     go to 100
522   end if
523
524 do bin=1, totbins
525   r(1) = real(bin-1,dp)*deltaR ! Lower radius of the bin
526   r(2) = r(1) + deltaR ! Upper radius of the bin
527   r(3) = r(1) + deltaR/2._dp ! Representative radius of the bin
528   g = real(hist(bin),dp)/real(configs*npart,dp) / ((4./3.)*dens*pi*(r(2)**3 - r(1)**3))
529   write(iounit2,1000) r(3), g
530   1000 format(2(1X,f10.6))
531   if (bin.EQ.(ceiling(sigma/deltaR) + 1)) gplus = g
532   integ(bin) = g*r(3)
533 end do
534
535 do i=2, totbins-1
536   summ = summ + integ(i)
537 end do
538
539 parts = 24._dp*dens*deltaR*summ
540
541 !===== Finish procedure =====
542 deallocate(hist)
543 close(iounit2, iostat=ierror)
544   write(iounit1, fileclose)
545   if (ierror.EQ.0) then
546     write(iounit1, suc_mess)
547   else
548     write(iounit1, err_mess)
549     go to 100
550   end if
551
552 write(iounit1, '( "Bins width          =",f10.5) ') deltaR
553 write(iounit1, '( "Total number of bins =",i10) ') totbins
554 write(iounit1, '( "Total particles (int)=",i10) ') nint(parts)
555 write(iounit1, '( "G(r) done!" ) ')
556 100 call cpu_time(finish)
557 call exec_time(start, finish)
558 end subroutine gdr-3d
559

```

```

560 program main
561   use types, only : sp, dp, i2b
562   use modules
563   implicit none
564
565   integer(i2b) :: iconfig
566   character(1) :: dim_sel
567   real(sp) :: startmain, finishmain
568   real(dp) :: gplus=0., press=0.
569
570   call cpu_time(startmain)
571   write(iounit1, '("Molecular Simulation")')
572   write(iounit1, baseskip)
573   write(iounit1, '("Input the reduced concentration <dens>")')
574   read(input_unit, *) dens
575
576   100 write(iounit1, '("Select (a) 2D, (b) 3D, (q) abort")')
577   !read(input_unit, *) dim_sel
578   dim_sel = 'b'
579   write(iounit1, baseskip)
580
581   ! Get the size of the box, interaction radius and number of configurations ==
582   ! Removed!!
583
584   rcut = 0.5_dp*edgeL ! Set biggest interaction radius possible
585   iconfig = int((nconfig-ntherm)/isave)! Get number of configurations to save
586   phi = dens*pi/6._dp
587
588   ! ===== Print settings for simulation =====
589   write(iounit1, '("Number of particles   =",i10)') npart
590   write(iounit1, '("Reduced concentration =",f10.5)') dens
591   write(iounit1, '("Volume fraction       =",f10.5)') phi
592   write(iounit1, '("Side of the cell      =",f10.5)') edgeL
593   write(iounit1, '("Interaction radius    =",f10.5)') rcut
594   write(iounit1, '("Number of configs.    =",i10)') nconfig
595   write(iounit1, '("Save configs. after   =",i10)') ntherm
596   write(iounit1, '("Save every           =",i10)') isave
597   write(iounit1, '("Total configs to save =",i10)') iconfig
598
599   ! Initial configuration. Set model =====
600   !
601   ! !!! Known error with rand_3d using dens>0.6, better use cube_3d
602   !
603   call configini_cube_3d()
604   !call configini_rand_3d()
605   call ensemble_energy_3d(rcut)
606
607   ener = ener + ener_lrc
608   write(iounit1, '("Initial configuration energy",f12.5)') ener/real(npart, dp)
609
610   ! =====
611   ! ===== MONTE CARLO =====
612   ! =====
613   ! Set 'ratio_max' given 'dens'. Higher for lower concentrations =====
614   ! Removed!!
615

```



```

616  ! Allocate C's matrices used for allocation of ensembles and run algorithm
617  write(iounit1,baseskip)
618  write(iounit1,alloc)
619  allocate(cx(1:npart,1:iconfig),cy(1:npart,1:iconfig),cz(1:npart,1:iconfig),stat=istat)
620      if (istat.EQ.0) then
621          write(iounit1,suc_mess)
622      else
623          write(iounit1,err_mess); go to 110
624      end if
625  ! Run algorithm
626  call mc_3d()
627
628  ! Get gdr =====
629  call gdr_3d(gplus)
630
631  ! Get pressure =====
632  press = dens*(1._dp + (2._dp/3._dp)*pi*dens*gplus)
633  write(iounit1, '("Estimated pressure!",f10.5) ') press
634
635  ! End program =====
636  110 call cpu_time(finishmain)
637  !close(5)
638  write(iounit1, baseskip)
639  write(iounit1, '("Main done!") ')
640  call exec_time(startmain,finishmain)
641  write(iounit1, baseskip)
642  !close(iounit1)
643
644 end program main

```